

$$S = \iiint d^3x \left( \frac{1}{2} (2 a_0 \mathcal{A}_a^\alpha{}^\beta \mathcal{A}_\beta{}^\chi + \mathcal{A}^{\alpha\beta\chi} (-2 a_0 \mathcal{A}_{\beta\chi\alpha} + 4 \mathcal{W}_{\alpha\beta\chi}) + 4 \mathcal{T}^{\alpha\beta} h_{\alpha\beta} - a_0 h_{\chi}^{\chi} \partial_\beta \mathcal{A}^\alpha{}^\beta + a_0 h_{\chi}^{\chi} \partial_\beta \mathcal{A}^{\alpha\beta} - 2 a_0 h_{\alpha\chi} \partial_\beta \mathcal{A}^{\alpha\beta\chi} + 2 a_0 h_{\beta\chi} \partial^\chi \mathcal{A}^\alpha{}^\beta + c_2 \partial_\beta \mathcal{A}^\delta{}_{\delta\chi} \partial^\chi \mathcal{A}^\alpha{}^\beta - c_2 \partial_\chi \mathcal{A}^\delta{}_{\delta\beta} \partial^\chi \mathcal{A}^\alpha{}^\beta - c_2 \partial_\beta \mathcal{A}^{\alpha\beta\chi} \partial_\alpha \mathcal{A}_\chi{}^\delta - 2 c_2 \partial^\chi \mathcal{A}^\alpha{}^\beta \partial_\delta \mathcal{A}_{\beta\chi}{}^\delta + c_2 \partial_\beta \mathcal{A}^{\alpha\beta\chi} \partial_\delta \mathcal{A}_\chi{}^\delta + 2 c_2 \partial^\chi \mathcal{A}^\alpha{}^\beta \partial_\delta \mathcal{A}_{\chi\beta}{}^\delta ) [t, x, y, z] dz dy dx dt \right)$$

### Wave operator

$0^+h^+$ $0^+h^+$ $0^+\mathcal{A}_a^+$ $0^+\mathcal{A}_5^{+t}$ $0^+\mathcal{A}_5^+$ $0^+\mathcal{A}_5^{+h}$ $0^+\mathcal{A}_a^+$	$0^+h^+$ $0^+h^+$ $0^+\mathcal{A}_a^+$ $0^+\mathcal{A}_5^{+t}$ $0^+\mathcal{A}_5^+$ $0^+\mathcal{A}_5^{+h}$ $0^+\mathcal{A}_a^+$	$0^+\mathcal{A}_a^+$ $0^+\mathcal{A}_5^{+t}$ $0^+\mathcal{A}_5^+$ $0^+\mathcal{A}_5^{+h}$ $0^+\mathcal{A}_a^+$	$0^+\mathcal{A}_5^{+t}$ $0^+\mathcal{A}_5^+$ $0^+\mathcal{A}_5^{+h}$ $0^+\mathcal{A}_a^+$	$0^+\mathcal{A}_5^+$ $0^+\mathcal{A}_5^{+h}$ $0^+\mathcal{A}_a^+$	$0^+\mathcal{A}_5^{+h}$ $0^+\mathcal{A}_a^+$	$0^+\mathcal{A}_a^+$
0	0	0	0	$\frac{ia_0k}{4}$	$-\frac{ia_0k}{4\sqrt{2}}$	0
0	0	$\frac{ia_0k}{2\sqrt{2}}$	0	$-\frac{ia_0k}{4\sqrt{3}}$	$\frac{ia_0k}{4\sqrt{6}}$	0
0	$-\frac{ia_0k}{2\sqrt{2}}$	$-\frac{a_0}{2}$	0	0	0	0
0	0	0	0	$\frac{a_0}{2}$	$-\frac{a_0}{2\sqrt{2}}$	0
$\frac{1}{4}ia_0k$	$-\frac{ia_0k}{4\sqrt{3}}$	0	$\frac{a_0}{2}$	0	$-\frac{a_0}{2\sqrt{2}}$	0
$\frac{ia_0k}{4\sqrt{2}}$	$-\frac{ia_0k}{4\sqrt{6}}$	0	$-\frac{a_0}{2\sqrt{2}}$	$-\frac{a_0}{2\sqrt{2}}$	$\frac{a_0}{2}$	0
0	0	0	0	0	0	$-\frac{a_0}{2}$
$1^+\mathcal{A}_a^+$ $1^+\mathcal{A}_5^{+t}$ $1^+\mathcal{A}_5^+$ $1^+h^+$ $1^+\mathcal{A}_a^+$ $1^+\mathcal{A}_5^{+t}$ $1^+\mathcal{A}_5^+$ $1^+\mathcal{A}_5^{+h}$ $1^+\mathcal{A}_a^+$	$1^+\mathcal{A}_a^+$ $1^+\mathcal{A}_5^{+t}$ $1^+\mathcal{A}_5^+$ $1^+h^+$ $1^+\mathcal{A}_a^+$ $1^+\mathcal{A}_5^{+t}$ $1^+\mathcal{A}_5^+$ $1^+\mathcal{A}_5^{+h}$ $1^+\mathcal{A}_a^+$	$1^+\mathcal{A}_a^+$ $1^+\mathcal{A}_5^{+t}$ $1^+\mathcal{A}_5^+$ $1^+h^+$ $1^+\mathcal{A}_a^+$ $1^+\mathcal{A}_5^{+t}$ $1^+\mathcal{A}_5^+$ $1^+\mathcal{A}_5^{+h}$ $1^+\mathcal{A}_a^+$	$1^+\mathcal{A}_5^{+t}$ $1^+\mathcal{A}_5^+$ $1^+\mathcal{A}_5^{+h}$ $1^+\mathcal{A}_a^+$	$1^+\mathcal{A}_5^{+t}$ $1^+\mathcal{A}_5^+$ $1^+\mathcal{A}_5^{+h}$ $1^+\mathcal{A}_a^+$	$1^+\mathcal{A}_5^{+h}$ $1^+\mathcal{A}_a^+$	$1^+\mathcal{A}_a^+$ $1^+\mathcal{A}_5^{+t}$ $1^+\mathcal{A}_5^+$ $1^+h^+$ $1^+\mathcal{A}_a^+$ $1^+\mathcal{A}_5^{+t}$ $1^+\mathcal{A}_5^+$ $1^+\mathcal{A}_5^{+h}$ $1^+\mathcal{A}_a^+$
$\frac{1}{4}(-a_0-c_2k^2)$	$-\frac{a_0}{2\sqrt{2}}$	$-\frac{c_2k^2}{4}$	0	0	0	0
0	0	0	0	0	0	0
0	0	$\frac{1}{4}(a_0-c_2k^2)$	0	0	0	0
0	0	0	0	$\frac{ia_0k}{4\sqrt{2}}$	0	$-\frac{ia_0k}{4\sqrt{6}}$
0	0	0	$-\frac{ia_0k}{4\sqrt{2}}$	$\frac{1}{4}(-a_0-c_2k^2)$	$\frac{a_0}{2\sqrt{2}}$	$-\frac{c_2k^2}{4\sqrt{3}}$
0	0	0	0	$\frac{a_0}{2\sqrt{2}}$	0	0
0	0	0	$\frac{ia_0k}{4\sqrt{6}}$	$-\frac{c_2k^2}{4\sqrt{3}}$	0	$\frac{1}{12}(-4a_0-c_2k^2)$
0	0	0	$-\frac{1}{12}(-4a_0-c_2k^2)$	$\frac{1}{12}\sqrt{5}(2a_0-c_2k^2)$	$-\frac{a_0+c_2k^2}{6\sqrt{2}}$	$\frac{1}{12}(-2a_0+c_2k^2)$
0	0	0	$-\frac{1}{4}i\sqrt{\frac{5}{6}}a_0k$	$-\frac{1}{4}\sqrt{\frac{5}{3}}c_2k^2$	$-\frac{1}{6}\sqrt{\frac{5}{2}}(a_0+c_2k^2)$	$\frac{1}{12}\sqrt{5}(-2a_0+c_2k^2)$
0	0	0	$-\frac{ia_0k}{4\sqrt{3}}$	$-\frac{c_2k^2}{2\sqrt{6}}$	0	$\frac{a_0+c_2k^2}{6\sqrt{2}}$
0	0	0	$\frac{ia_0k}{4\sqrt{6}}$	$-\frac{c_2k^2}{4\sqrt{3}}$	0	$\frac{1}{12}(-2a_0+c_2k^2)$
0	0	0	$-\frac{1}{12}(-2a_0+c_2k^2)$	$\frac{1}{12}\sqrt{5}(-2a_0+c_2k^2)$	$-\frac{a_0-c_2k^2}{6\sqrt{2}}$	$\frac{1}{12}(5a_0-c_2k^2)$
$2^+h^+$ $2^+\mathcal{A}_a^+$ $2^+\mathcal{A}_5^{+t}$ $2^+\mathcal{A}_5^+$ $2^+\mathcal{A}_5^{+h}$ $2^+\mathcal{A}_a^+$	$2^+h^+$ $2^+\mathcal{A}_a^+$ $2^+\mathcal{A}_5^{+t}$ $2^+\mathcal{A}_5^+$ $2^+\mathcal{A}_5^{+h}$ $2^+\mathcal{A}_a^+$	$2^+h^+$ $2^+\mathcal{A}_a^+$ $2^+\mathcal{A}_5^{+t}$ $2^+\mathcal{A}_5^+$ $2^+\mathcal{A}_5^{+h}$ $2^+\mathcal{A}_a^+$	$2^+\mathcal{A}_5^{+t}$ $2^+\mathcal{A}_5^+$ $2^+\mathcal{A}_5^{+h}$ $2^+\mathcal{A}_a^+$	$2^+\mathcal{A}_5^{+t}$ $2^+\mathcal{A}_5^+$ $2^+\mathcal{A}_5^{+h}$ $2^+\mathcal{A}_a^+$	$2^+\mathcal{A}_5^{+h}$ $2^+\mathcal{A}_a^+$	$2^+\mathcal{A}_a^+$ $2^+\mathcal{A}_5^{+t}$ $2^+\mathcal{A}_5^+$ $2^+\mathcal{A}_5^{+h}$ $2^+\mathcal{A}_a^+$
0	$\frac{ia_0k}{4\sqrt{2}}$	$-\frac{ia_0k}{4\sqrt{3}}$	$\frac{ia_0k}{4\sqrt{6}}$	0	0	0
$\frac{ia_0k}{4\sqrt{2}}$	$\frac{a_0}{4}$	0	0	0	0	0
$\frac{ia_0k}{4\sqrt{3}}$	0	$-\frac{a_0}{2}$	0	0	0	0
$\frac{ia_0k}{4\sqrt{6}}$	0	0	$\frac{a_0}{4}$	0	0	0
0	0	0	0	$\frac{a_0}{4}$	0	0
0	0	0	0	0	$\frac{a_0}{4}$	0
$3^+\mathcal{A}_a^+$ $3^+\mathcal{A}_5^{+t}$	$3^+\mathcal{A}_a^+$ $3^+\mathcal{A}_5^{+t}$	$3^+\mathcal{A}_a^+$ $3^+\mathcal{A}_5^{+t}$	$3^+\mathcal{A}_5^{+t}$	$3^+\mathcal{A}_5^{+t}$	$3^+\mathcal{A}_5^{+h}$ $3^+\mathcal{A}_a^+$	$3^+\mathcal{A}_a^+$ $3^+\mathcal{A}_5^{+t}$
$-\frac{a_0}{2}$	$-\frac{a_0}{2}$	$-\frac{a_0}{2}$	$-\frac{a_0}{2}$	$-\frac{a_0}{2}$	$-\frac{a_0}{2}$	$-\frac{a_0}{2}$

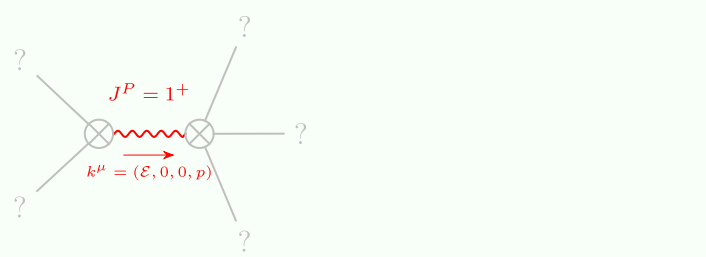
### Saturated propagator

$0^+\mathcal{T}^+$ $0^+\mathcal{T}^+$ $0^+\mathcal{W}_a^+$ $0^+\mathcal{W}_5^{+t}$ $0^+\mathcal{W}_5^+$ $0^+\mathcal{W}_5^{+h}$ $0^+\mathcal{W}_a^+$	$0^+\mathcal{T}^+$ $0^+\mathcal{T}^+$ $0^+\mathcal{W}_a^+$ $0^+\mathcal{W}_5^{+t}$ $0^+\mathcal{W}_5^+$ $0^+\mathcal{W}_5^{+h}$ $0^+\mathcal{W}_a^+$	$0^+\mathcal{W}_a^+$ $0^+\mathcal{W}_5^{+t}$ $0^+\mathcal{W}_5^+$ $0^+\mathcal{W}_5^{+h}$ $0^+\mathcal{W}_a^+$	$0^+\mathcal{W}_5^{+t}$ $0^+\mathcal{W}_5^+$ $0^+\mathcal{W}_5^{+h}$ $0^+\mathcal{W}_a^+$	$0^+\mathcal{W}_5^+$ $0^+\mathcal{W}_5^{+h}$ $0^+\mathcal{W}_a^+$	$0^+\mathcal{W}_5^{+h}$ $0^+\mathcal{W}_a^+$	$0^+\mathcal{W}_a^+$
$-\frac{36k^2}{a_0(16+3k^2)^2}$	$\frac{4\sqrt{3}}{16a_0+3a_0k^2}$	$\frac{2i\sqrt{6}k}{16a_0+3a_0k^2}$	$-\frac{72ik}{a_0(16+3k^2)^2}$	$\frac{8ik(19+3k^2)}{a_0(16+3k^2)^2}$	$\frac{4i\sqrt{2}k(10+3k^2)}{a_0(16+3k^2)^2}$	0
$\frac{4\sqrt{3}}{16a_0+3a_0k^2}$	$\frac{4}{a_0k^2}$	$\frac{2i\sqrt{2}}{a_0k}$	$\frac{8i\sqrt{3}}{16a_0k+3a_0k^3}$	$-\frac{8i}{\sqrt{3}(16a_0k+3a_0k^3)}$	$-\frac{8i\sqrt{\frac{2}{3}}}{16a_0k+3a_0k^3}$	0
$\frac{2i\sqrt{6}k}{16a_0+3a_0k^2}$	$\frac{2i\sqrt{2}}{a_0k}$	0	$\frac{4\sqrt{6}}{16a_0+3a_0k^2}$	$\frac{4\sqrt{\frac{2}{3}}}{16a_0+3a_0k^2}$	$-\frac{8}{\sqrt{3}(16a_0+3a_0k^2)}$	0
$\frac{72ik}{a_0(16+3k^2)^2}$	$-\frac{8i\sqrt{3}}{16a_0k+3a_0k^3}$	$\frac{4\sqrt{6}}{16a_0+3a_0k^2}$	$-\frac{144}{a_0(16+3k^2)^2}$	$\frac{16(19+3k^2)}{a_0(16+3k^2)^2}$	$\frac{8\sqrt{2}(10+3k^2)}{a_0(16+3k^2)^2}$	0
$\frac{8i(19+3k^2)}{a_0(16+3k^2)^2}$	$\frac{8i}{\sqrt{3}(16a_0k+3a_0k^3)}$	$-\frac{4\sqrt{\frac{2}{3}}}{16a_0+3a_0k^2}$	$\frac{16(19+3k^2)}{a_0(16+3k^2)^2}$	$\frac{16(35+6k^2)}{3a_0(16+3k^2)^2}$	$\frac{8\sqrt{2}(22+3k^2)}{3a_0(16+3k^2)^2}$	0
$\frac{4i\sqrt{2}k(10+3k^2)}{a_0(16+3k^2)^2}$	$\frac{8i\sqrt{\frac{2}{3}}}{16a_0k+3a_0k^3}$	$-\frac{8}{\sqrt{3}(16a_0+3a_0k^2)}$	$\frac{8\sqrt{2}(10+3k^2)}{a_0(16+3k^2)^2}$	$\frac{8\sqrt{2}(22+3k^2)}{3a_0(16+3k^2)^2}$	$\frac{32(13+3k^2)}{3a_0(16+3k^2)^2}$	0
0	0	0	0	0	0	$-\frac{2}{a_0}$
$1^+\mathcal{W}_a^+$ $1^+\mathcal{W}_a^+$ $1^+\mathcal{W}_5^{+t}$ $1^+\mathcal{T}^+$ $1^+\mathcal{W}_a^+$ $1^+\mathcal{W}_5^{+t}$ $1^+\mathcal{W}_5^+$ $1^+\mathcal{W}_5^{+h}$ $1^+\mathcal{W}_a^+$	$1^+\mathcal{W}_a^+$ $1^+\mathcal{W}_a^+$ $1^+\mathcal{W}_5^{+t}$ $1^+\mathcal{T}^+$ $1^+\mathcal{W}_a^+$ $1^+\mathcal{W}_5^{+t}$ $1^+\mathcal{W}_5^+$ $1^+\mathcal{W}_5^{+h}$ $1^+\mathcal{W}_a^+$	$1^+\mathcal{W}_a^+$ $1^+\mathcal{W}_a^+$ $1^+\mathcal{W}_5^{+t}$ $1^+\mathcal{T}^+$ $1^+\mathcal{W}_a^+$ $1^+\mathcal{W}_5^{+t}$ $1^+\mathcal{W}_5^+$ $1^+\mathcal{W}_5^{+h}$ $1^+\mathcal{W}_a^+$	$1^+\mathcal{W}_5^{+t}$ $1^+\mathcal{T}^+$ $1^+\mathcal{W}_5^{+t}$ $1^+\mathcal{T}^+$ $1^+\mathcal{W}_5^{+t}$ $1^+\mathcal{T}^+$ $1^+\mathcal{W}_5^{+t}$ $1^+\mathcal{T}^+$ $1^+\mathcal{W}_5^{+t}$	$1^+\mathcal{W}_5^{+t}$ $1^+\mathcal{T}^+$ $1^+\mathcal{W}_5^{+t}$ $1^+\mathcal{T}^+$ $1^+\mathcal{W}_5^{+t}$ $1^+\mathcal{T}^+$ $1^+\mathcal{W}_5^{+t}$ $1^+\mathcal{T}^+$ $1^+\mathcal{W}_5^{+t}$	$1^+\mathcal{W}_5^{+h}$ $1^+\mathcal{T}^+$ $1^+\mathcal{W}_5^{+h}$ $1^+\mathcal{T}^+$ $1^+\mathcal{W}_5^{+h}$ $1^+\mathcal{T}^+$ $1^+\mathcal{W}_5^{+h}$ $1^+\mathcal{T}^+$ $1^+\mathcal{W}_5^{+h}$	$1^+\mathcal{W}_a^+$ $1^+\mathcal{W}_5^{+t}$ $1^+\mathcal{W}_5^+$ $1^+\mathcal{W}_5^{+h}$ $1^+\mathcal{W}_a^+$ $1^+\mathcal{W}_5^{+t}$ $1^+\mathcal{W}_5^+$ $1^+\mathcal{W}_5^{+h}$ $1^+\mathcal{W}_a^+$
0	$-\frac{2\sqrt{2}}{a_0}$	0	0	0	0	0
$-\frac{2\sqrt{2}}{a_0}$	$\frac{2}{a_0c_2k^2}$	$-\frac{2\sqrt{2}c_2k^2}{a_0^2a_0c_2k^2}$	0	0	0	0
0	$\frac{2\sqrt{2}c_2k^2}{a_0^2a_0c_2k^2}$	$\frac{4}{a_0c_2k^2}$	0	0	0	0
0	0	0	$\frac{2k^2}{a_0(2+k^2)^2}$	$\frac{2i\sqrt{2}k}{2a_0+a_0k^2}$	$\frac{ik(4+k^2)}{a_0(2+k^2)^2}$	$-\frac{I\sqrt{\frac{2}{3}}i(4+3k^2)}{a_0(2+k^2)^2}$
0	0	0	$-\frac{2i\sqrt{2}k}{2a_0+a_0k^2}$	0	$\frac{\sqrt{2}(4+k^2)}{a_0(2+k^2)}$	$-\frac{2k^2}{\sqrt{3}(2a_0+k^2)}$
0	0	0	$-\frac{ik(4+k^2)}{a_0(2+k^2)^2}$	$\frac{\sqrt{2}(4+k^2)}{a_0(2+k^2)}$	$\frac{8+8k^2+k^4}{2a_0(2+k^2)^2}$	$-\frac{\sqrt{\frac{10}{3}}}{a_0}$
0	0	0	$\frac{I\sqrt{\frac{2}{3}}i(4+3k^2)}{a_0(2+k^2)^2}$	$-\frac{2k^2}{\sqrt{3}(2a_0+k^2)}$	$-\frac{8+8k^2+k^4}{\sqrt{6}a_0(2+k^2)^2}$	$\frac{\sqrt{5}(a_0-2c_2k^2)}{3a_0c_2k^2}$
0	0	0	0	0	$-\frac{\sqrt{\frac{10}{3}}}{a_0}$	$\frac{4}{3a_0}-\frac{5}{3c_2k^2}$
0	0	0	$\frac{ik(8+3k^2)}{\sqrt{3}a_0(2+k^2)^2}$	$\frac{\sqrt{\frac{2}{3}}k^2}{2a_0+a_0k^2}$	$\frac{-16-4k^2+k^4}{2\sqrt{3}a_0(2+k^2)^2}$	$\frac{2\sqrt{2}(a_0+c_2k^2)}{3a_0c_2k^2}$
0	0	0	0	0	$-\frac{2\sqrt{\frac{2}{3}}}{a_0}$	$\frac{4}{3}(-\frac{4}{a_0c_2k^2}+\frac{32+16k^2+k^4}{a_0(2+k^2)^2})$
$2^+\mathcal{T}^+$ $2^+\mathcal{W}_a^+$ $2^+\mathcal{W}_5^{+t}$ $2^+\mathcal{W}_5^+$ $2^+\mathcal{W}_5^{+h}$ $2^+\mathcal{W}_a^+$	$2^+\mathcal{T}^+$ $2^+\mathcal{W}_a^+$ $2^+\mathcal{W}_5^{+t}$ $2^+\mathcal{W}_5^+$ $2^+\mathcal{W}_5^{+h}$ $2^+\mathcal{W}_a^+$	$2^+\mathcal{T}^+$ $2^+\mathcal{W}_a^+$ $2^+\mathcal{W}_5^{+t}$ $2^+\mathcal{W}_5^+$ $2^+\mathcal{W}_5^{+h}$ $2^+\mathcal{W}_a^+$	$2^+\mathcal{W}_5^{+t}$ $2^+\mathcal{W}_5^+$ $2^+\mathcal{W}_5^{+h}$ $2^+\mathcal{W}_a^+$	$2^+\mathcal{W}_5^{+t}$ $2^+\mathcal{W}_5^+$ $2^+\mathcal{W}_5^{+h}$ $2^+\mathcal{W}_a^+$	$2^+\mathcal{W}_5^{+h}$ $2^+\mathcal{W}_a^+$	$2^+\mathcal{W}_a^+$ $2^+\mathcal{W}_5^{+t}$ $2^+\mathcal{W}_5^+$ $2^+\mathcal{W}_5^{+h}$ $2^+\mathcal{W}_a^+$
$-\frac{8}{a_0k^2}$	$-\frac{4i\sqrt{2}}{a_0k}$	$\frac{4i}{\sqrt{3}a_0k}$	$\frac{4i\sqrt{\frac{2}{3}}}{a_0k}$	0	0	0
$\frac{4i\sqrt{2}}{a_0k}$	0	$\frac{2\sqrt{\frac{2}{3}}}{a_0}$	$\frac{4}{\sqrt{3}a_0}$	0	0	0
$-\frac{4i}{\sqrt{3}a_0}$	$\frac{2\sqrt{\frac{2}{3}}}{a_0}$	$-\frac{8}{3a_0}$	$\frac{2\sqrt{\frac{2}{3}}}{3a_0}$	0	0	0
$-\frac{4i\sqrt{\frac{2}{3}}}{a_0k}$	$\frac{4}{\sqrt{3}a_0}$	$\frac{2\sqrt{2}}{3a_0}$	$\frac{8}{3a_0}$	0	0	0
0	0	0	0	$\frac{4}{a_0}$	0	0
0	0	0	0	0	$\frac{4}{a_0}$	$3^+\mathcal{W}_a^+$ $3^+\mathcal{W}_5^{+t}$
$-\frac{2}{a_0}$	$-\frac{2}{a_0}$	$-\frac{2}{a_0}$	$-\frac{2}{a_0}$	$-\frac{2}{a_0}$	$-\frac{2}{a_0}$	$-\frac{2}{a_0}$

### Source constraints

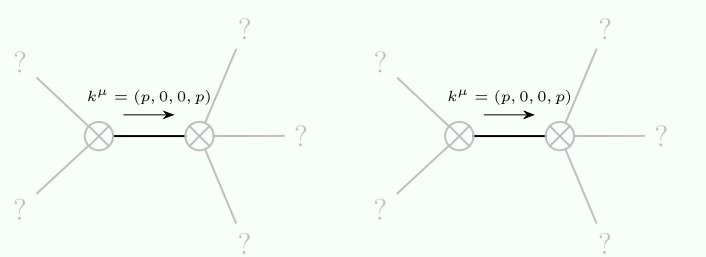
Spin-parity form	Covariant form	Multiplicities
$k^0\mathcal{W}_5^+ + 2k^0\mathcal{W}_5^{+h} - 6i0^+\mathcal{T}^+ == 0$	$2\partial_\beta\partial_\alpha\mathcal{T}^{\alpha\beta} + \partial_\chi\partial^\chi\partial_\alpha\mathcal{W}^{\alpha\beta}{}_\beta == \partial_\chi\partial_\beta\partial_\alpha\mathcal{W}^{\alpha\beta\chi}$	1
$k^0\mathcal{W}_5^{+t} + 2i0^+\mathcal{T}^+ == 0$	$2\partial_\beta\partial_\alpha\mathcal{T}^{\alpha\beta} == \partial_\chi\partial_\beta\partial_\alpha\mathcal{W}^{\alpha\beta\chi}$	1
$k^1\mathcal{W}_5^{+h\alpha} - 6i1^+\mathcal{T}^+{}^\alpha == k(31^+\mathcal{W}_a^+{}^\alpha + 1^+\mathcal{W}_5^{+t\alpha})$	$2\partial_\chi\partial_\beta\partial^\alpha\mathcal{T}^{\beta\chi} + \partial_\beta\partial^\beta\partial_\chi\partial_\beta\mathcal{W}^{\beta\alpha\chi} == 2\partial_\chi\partial^\chi\partial_\beta\mathcal{T}^{\alpha\beta} + \partial_\beta\partial_\chi\partial_\beta\mathcal{W}^{\beta\chi\alpha}$	3
Total expected gauge generators:		5

### Massive spectrum



Massive particle
Pole residue: $ \frac{6}{c_2}  > 0$
Square mass: $\frac{a_0}{c_2} > 0$
Spin: 1
Parity: Even

### Massless spectrum



Massless particle	Massless particle
Pole residue: $ \frac{6}{c_2}  > 0$	Pole residue: $ \frac{1}{c_2} + \frac{8c_2p^4}{a_0^2}  > 0$
Polarisations: 2	Polarisations: 2

### Unitarity conditions

(Demonstrably impossible)